

Systems Biology Club  
Universidade Federal do Ceará  
Workshop de capacitação 2013.2



**Órbitas de sistemas dinâmicos e diagramas de  
bifurcação em Python**

Renato Marques de Oliveira

Neste tutorial vamos estudar técnicas importantes e simples para a exploração de sistemas dinâmicos. A principal utilidade deste documento é introduzir o leitor aos algoritmos usados para gerar os gráficos qualitativos de sistemas dinâmicos. Não é necessária a compreensão letra-por-letra dos scripts reproduzidos aqui, apenas se propõe que o leitor entenda o que está acontecendo por detrás do código: a motivação pelo qual ele foi escrito.

Reconceituando, um sistema dinâmico é um modelo formal (matemático) de um processo envolvendo diferentes elementos. Utilizamos o termo “sistema” para delimitar fronteiras no mundo real: dizemos que o nosso organismo é um grande sistema constituído de um conjunto de sistemas, como o sistema circulatório, o sistema digestório e o sistema linfático. Ao mesmo tempo, cada ser humano pertence a um ecossistema (mesmo que isso não seja óbvio nos centros urbanos), e toda a biosfera, a superfície e o interior da Terra pertencem ao sistema solar. Um sistema dinâmico é uma forma de representação quantitativa de modo a auxiliar na nossa compreensão do sistema original.

Sistemas dinâmicos geralmente variam com o tempo, e são totalmente descritos pelas três seguintes partes:

**Variável independente** Em suma, todo o sistema dinâmico evolui de acordo com o tempo, que é escolhido como a variável independente do qual todas as outras variáveis vão depender. No entanto, além do tempo, também é comum adotar o espaço como variável independente.

**Variáveis dependentes** São os elementos (as diferentes partes) de um sistema que se conectam e interagem ao longo do tempo. As variáveis dependentes são por sua vez funções da variável independente (pois variam com o tempo).

**Regra de evolução** Uma função das variáveis dependentes que determina as relações entre elas e o modo como elas evoluem com o tempo.

A grande utilidade desse formalismo é a compreensão completa do comportamento do sistema modelado. Claro, todo modelo é uma aproximação, e é justamente escolhendo modelos úteis para as situações que queremos estudar que podemos compreender bastante sobre o nosso sistema, dentro do âmbito do modelo. Um dos objetivos deste minicurso é a introdução de técnicas para a análise do comportamento de sistemas dinâmicos. Para tanto, vamos começar com um modelo bem simples.

Digamos que nós queremos montar um biorreator para a produção de um metabólito. Vamos supor condições tais que não precisamos nos preocupar com a capacidade máxima do reator. Nosso sistema será constituído de três partes, a taxa de produção do metabólito (por unidade de tempo), a concentração do metabólito (a cada unidade de tempo) e o tempo; respectivamente a regra de evolução, a variável dependente e a variável independente. Além disso, vamos fazer medidas do reator em intervalos regulares, de modo que nosso modelo vai evoluir com o tempo de forma discreta (ao invés de contínua). Para definir nosso modelo, apresentamos as relações entre todas as partes através de uma equação:

$$F(x) = x^2 + c \quad (1)$$

onde  $x$  é a concentração de metabólito no instante  $t$ ,  $F(x)$  é a concentração de metabólito no instante  $t + 1$  e  $c$  é um parâmetro que representa algo como a extração ou a complementação de metabólito, de acordo com o sinal. No caso, temos um modelo simplificado de produção metabólica. Expressamos a produção através da própria concentração de metabólito, numa espécie de feedback positivo, desconsiderando ou simplificando caminhos intermediários.

Para entendermos a dinâmica do nosso sistema, começamos buscando pelos pontos mais evidentes: a concentração de equilíbrio. Quantas e quais concentrações de equilíbrio podemos ter? Bom, temos que, no equilíbrio, a concentração de metabólito não varia. Portanto, substituímos a concentração de equilíbrio  $x^*$  na equação 1 e calculamos o seu valor:

$$\begin{aligned} x^* &= (x^*)^2 + c \\ (x^*)^2 - x^* + c &= 0 \\ x_-^* &= \frac{1 - \sqrt{-4c + 1}}{2} ; x_+^* = \frac{1 + \sqrt{-4c + 1}}{2} \end{aligned} \quad (2)$$

temos portanto não mais que dois possíveis pontos de equilíbrio. Vemos que se  $c > \frac{1}{4}$ , não há equilíbrio; se  $c = \frac{1}{4}$ , há um equilíbrio; e se  $c < \frac{1}{4}$ , há dois equilíbrios. Neste ponto já podemos fazer o gráfico de  $F(x)$ . Lembrando que, em Python, comentários são marcados com `#`.

```
# -*- coding: utf-8 -*-
## A linha acima é necessária para uso de caracteres latinos ##
# Este é um comentário. Tudo o que estiver escrito após o "#"
# será ignorado pelo interpretador.
```

```

from numpy import *
from pylab import *

# Antes de mais nada, carregamos o pacote de funções
# matemáticas "numpy" e o pacote de criação de gráficos
# "matplotlib", que é distribuído sob o nome de "pylab".

def f(x,c):
    return x**2 + c

# "def f(x,c)" é a sintaxe de declaração de uma função chamada
# "f" que recebe "x" e "c" como argumentos. ":" denota que há um
# bloco de comandos a partir da linha seguinte, pertencente à
# função "f". Neste caso, o bloco é formado por apenas um comando:
# retorne o valor de  $x^2 + c$ , lembrando que  $x^2$  é a sintaxe do
# Python para a função quadrado.

x = linspace(-2,2,30)

# A função "linspace(a,b,c)" retorna um vetor de  $(b - a)/c + 1$ 
# elementos, iniciando em "a", terminando em "b", espaçados
# por "c". Ela gera a sequência de valores de x que vamos passar
# à função para plotagem.

plot(x, f(x,.05))

# A função "plot(a,b)" plota o vetor "b" contra o vetor "a",
# ambos de mesmo tamanho, na forma de pontos  $\{(a_1, b_1), \dots, (a_n, b_n)\}$ 
# se  $a = [a_1, \dots, a_n]$  e  $b = [b_1, \dots, b_n]$ . O comando "f(x,.5)"
# gera um vetor de 30 elementos que corresponde à imagem do
# vetor "x" sob a função "f".

show()

# Já que o Python não mostra instantaneamente os gráficos
# gerados, precisamos pedir para que eles sejam mostrados
# através do comando "show".

```

O gráfico obtido deverá parecer com a figura 1.

Tomei a liberdade de adicionar a linha verde através do comando `plot([0,2],[0,2])`. Este comando gera uma linha que conecta os pontos  $(0,0)$  e  $(2,2)$ , representando uma reta onde  $x = x$ . Logo, temos que os pontos de equilíbrio  $(x_-^*, F(x_-^*))$  e  $(x_+^*, F(x_+^*))$  de  $F(x)$  em azul devem estar na interseção com a reta verde.

Em um curso de Cálculo introdutório, é neste ponto que costumávamos parar. Mas para continuar com a análise, temos que responder questões como: se

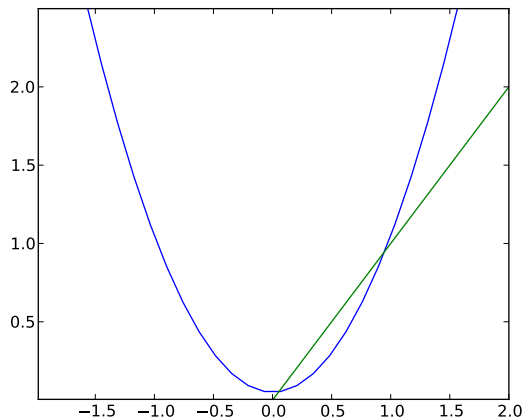


Figura 1: Gráfico de  $F(x)$  com  $c = \frac{1}{20}$ .

o sistema iniciar com uma concentração  $x = 1$ , em qual dos pontos de equilíbrio ele “estacionará”? Como o sistema se aproxima dos pontos de equilíbrio? Aliás, o sistema chega realmente a se aproximar dos pontos de equilíbrio? Para tanto, é necessário introduzir o conceito de órbita.

**Definição** A *órbita* de um sistema discreto é o conjunto de pontos visitados pelo sistema a cada intervalo de tempo. (T tecnicamente, uma órbita é uma sequência de iterações da regra de evolução de um sistema dinâmico discreto sobre um valor inicial das variáveis dependentes)

Para observar a órbita do nosso sistema, precisamos escolher um valor inicial  $x_0$ . Em seguida, calculamos a posição do sistema no instante seguinte por  $x_1 = F(x_0)$ . Depois, repetimos o procedimento,  $x_2 = F(x_1)$  e assim por diante, até o instante  $n$ . A posição no instante  $n$  é dada por

$$\underbrace{F(F(\dots(F(x_0))))}_{n \text{ vezes}} = \underbrace{F \circ F \circ \dots \circ F(x_0)}_{n \text{ vezes}} = F^n(x_0)$$

$F^n(x_0)$  é uma forma abreviada de expressar “ $n$  iterações de  $F$  sobre o valor inicial  $x_0$ ”, e não serve para representar uma potência. A órbita do nosso sistema vai ser a sequência dada por

$$\{x_0, F(x_0), F^2(x_0), \dots, F^n(x_0)\} \text{ ou } \{x_0, x_1, x_2, \dots, x_n\}$$

Podemos plotar a nossa órbita de acordo com o tempo, assim como podemos inseri-la no gráfico da figura 1. Executamos a segunda opção na figura 2(a). Vamos explicar o que está acontecendo nesta figura. Iniciamos com o valor

$x_0 = 0.5$ . No gráfico, representamos isso como uma linha que sobe do eixo  $X$  a partir de  $x = 0.5$  até a curva azul da função em  $F(0.5) = 0.3 = x_1$ . Em seguida, traçamos uma linha até a reta verde  $x = x$ . O ponto que atingimos após traçar essa linha é  $(F(x_0), F(x_0))$ , pois estávamos na altura de  $F(x_0)$ , e seguimos nessa altura até a reta verde onde  $x = F(x_0)$  e  $y = F(x_0)$ . Desta forma, chegamos à localização  $x_1$  no eixo  $X$ . Em seguida, repetimos o procedimento anterior, e traçamos uma linha reta até o gráfico azul de  $F(x)$  para descobrirmos  $F(x_1) = 0.14 = x_2$ . Mais uma vez, traçamos uma linha até a reta verde  $x = x$  para descobrir a localização de  $x_2$  no eixo  $X$ . Repetindo esse processo  $n$  vezes, descobrimos a trajetória do sistema ao longo do gráfico de  $F(x)$ , representada pelas linhas vermelhas, até o instante  $n$ . Na figura 2(a), notamos que a trajetória tende ao equilíbrio menor,  $(x_-^*, x_-^*)$ .

Na figura 2(b), plotamos três trajetórias diferentes ao mesmo tempo, todas próximas do equilíbrio maior  $(x_+^*, x_+^*)$ . Notamos que as órbitas parecem fugir desse equilíbrio. O código para gerar esses gráficos é significativamente mais complexo e será colocado ao final do tutorial.

Outra forma de plotar a órbita do nosso valor inicial é fazendo um gráfico de  $F(x) \times \text{tempo}$ , como representado na figura 3. Note que órbitas iniciando abaixo de  $x_0 = x_+^* \approx 0.94$  tendem à  $x_-^*$ , e a órbita de  $x_0 = 0.955$  cresce violentamente após algumas iterações para longe de  $x_+^*$ . Apesar das órbitas próximas fugirem de  $x_+^*$ , note pela figura 4 que uma órbita iniciada em  $x_+^*$  permanecerá estática, pois afinal  $x_+^*$  é um ponto de equilíbrio!

```
# -*- coding: utf-8 -*-
from numpy import *
from pylab import *

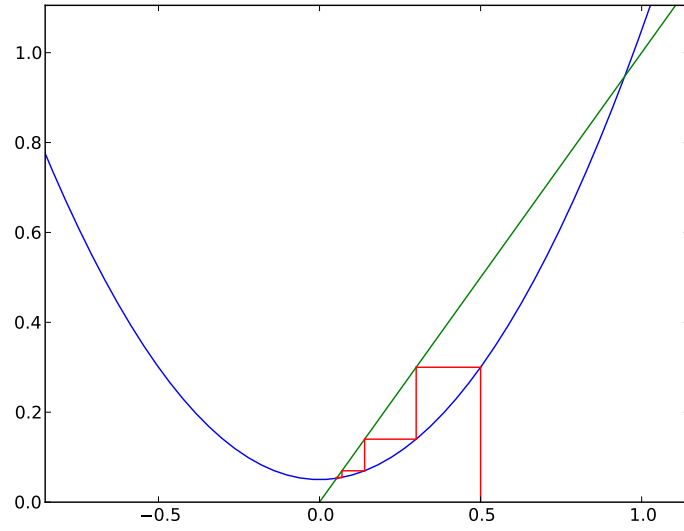
def f(x0,c,n):
    x=zeros(n)
    x[0] = x0
    for i in range(1,n):
        x[i] = x[i-1]**2 + c
    return x

t = 10
plot(range(t),f(.5,.05,t))
show()
```

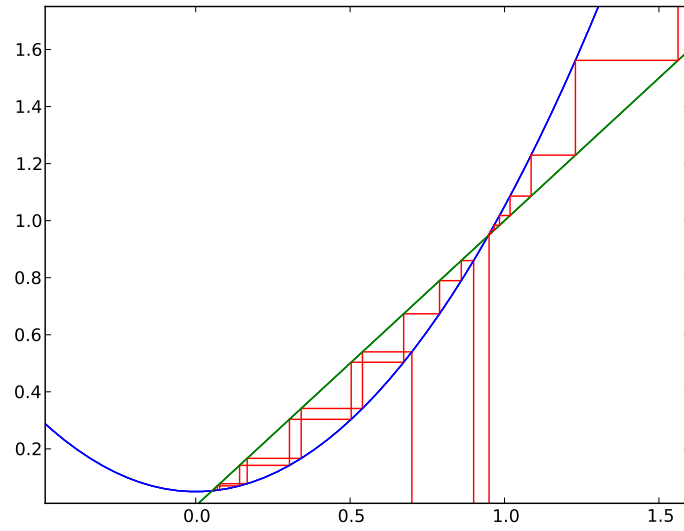
$f(x_0, c, n)$  é uma função que é iterada  $n$  vezes sobre o valor inicial  $x_0$ , possuindo um parâmetro ajustável  $c$ .  $x = \text{zeros}(n)$  declara um vetor de tamanho  $n$  que guardará os  $n$  valores  $x_0, x_1, \dots, x_n$  da órbita de  $x_0$ .

À cada iteração do loop, a função  $F(x) = x**2 + c$  será iterada sobre a posição anterior  $x[n - 1]$ . O comando `range(1,n)` gera uma lista iniciada em 1 porque a posição  $x[0]$  já está determinada pelo nosso valor inicial.

$t = 10$  declara a quantidade de passos que calcularemos, e logo abaixo plotamos a função  $f$  com valor inicial  $x_0 = 0.5$ , parâmetro  $c = 0.05$  iterada por  $t = 10$  passos.



(a) Órbita de  $F(x)$  iniciando em  $x_0 = 0.5$  ( $c = \frac{1}{20}$ )



(b) Órbitas de  $F(x)$  iniciando em  $x_0 = 0.7, 0.9$  e  $0.95$  ( $c = \frac{1}{20}$ )

Figura 2: Órbitas de  $F(x)$  plotadas no gráfico  $x \times F(x)$ .

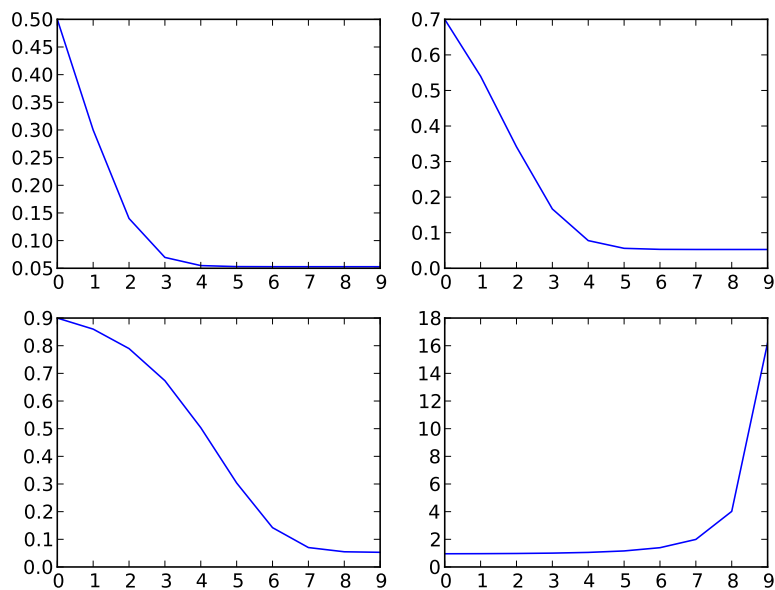


Figura 3: Órbitas dos valores iniciais  $x_0 = 0.5, 0.7, 0.9$  e  $0.955$ , respectivamente da esquerda para a direita, de cima à baixo. As órbitas são acompanhadas até o instante  $t = 9$ . ( $c = \frac{1}{20}$ )

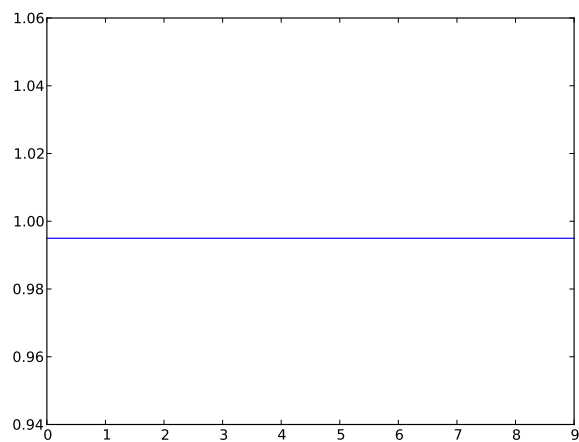


Figura 4: Órbita de  $x_0 = x_+^*$ . ( $c = \frac{1}{20}$ )

Ao invés de chamarmos  $(x^*, x^*)$  de pontos “de equilíbrio”, o mais apropriado é nos referirmos a eles como *pontos fixos*. Um ponto fixo de uma função é aquele para o qual  $F(x_{n+1}) = F(x_n)$ . Inspirados pelos gráficos já plotados, podemos inferir que o equilíbrio menor é estável, enquanto que o equilíbrio maior é instável. Em termos técnicos, o ponto fixo menor é atrator, enquanto que o ponto fixo maior é repulsor.

**Definição** Um ponto fixo atrator é um ponto  $x^*$  dentro de um intervalo aberto  $I$  para o qual, se  $x_0 \in I$ , então  $F^n(x_0) \in I$  para todo  $n$ , além disso  $F^n(x_0) \rightarrow x^*$  quando  $n \rightarrow \infty$ .

**Definição** Um ponto fixo repulsor é um ponto  $x^*$  dentro de um intervalo  $I$  para o qual, se  $x_0 \in I$  e  $x_0 \neq x^*$ , existe  $n$  tal que  $F^n(x_0) \notin I$ .

Essas definições não passam de formas técnicas de dizer que pontos fixos atratores atraem órbitas para si, e pontos fixos repulsores repelem órbitas de si. Como descobrir se um ponto fixo é atrator ou repulsor? Uma dica: observe a derivada de  $F(x)$  no ponto fixo. Se  $|F'(x^*)| > 1$ , a distância

$$F^{n+1}(x) - F^n(x) = F'(x)(x_{n+1} - x_n)$$

tende a crescer a cada iteração de  $F(x)$ , para  $x$  próximos de  $x^*$ , e a órbita acaba se distanciando de  $x^*$ . Caso  $|F'(x^*)| < 1$ , essa distância tende a diminuir, e o ponto fixo  $x^*$  acaba atraindo órbitas. Caso  $|F'(x^*)| = 1$ , não podemos afirmar.

A esta altura, sabemos muito bem como é o comportamento completo de  $F(x)$  quando  $c = \frac{1}{20}$ . Qualquer valor inicial  $x_0 < x_+^*$  tende à  $x_-^*$ , qualquer valor inicial  $x_0 > x_+^*$  tende à infinito, e quando o sistema atinge os pontos fixos lá ele permanece. No entanto, tecnicamente existe uma infinidade incontável de valores de  $c$  para os quais não descrevemos a dinâmica de  $F(x)$ . Vamos fazer isso agora.

Sabemos que a existência de pontos fixos depende do parâmetro  $c$ , e caso  $c > 1/4$ , de acordo com a equação 2 não haverão pontos fixos e  $F^n(x) \rightarrow \infty$ .<sup>1</sup> Caso  $c = 1/4$ , a equação 2 diz que  $x_-^* = x_+^* = x^* = 1/2$ , ou seja, temos apenas um ponto fixo, sendo que  $F'(x^*) = 2x^* = 1$ . Por fim, caso  $c < 1/4$ , temos dois pontos fixos, o menor sendo atrator e o maior sendo repulsor.

Agora, se olharmos bem para  $x_-^*$ , quando  $c \leq -3/4$  a equação 2 nos diz que  $x_-^* \leq -1/2$  e portanto que  $F'(x_-^*) \leq -1$ . O ponto fixo  $x_-^*$  mudaria de atrator para repulsor! Sem contar que no parágrafo acima encontramos um ponto fixo de estabilidade indeterminada. Para estudar esses fenômenos, utilizamos a **Teoria da Bifurcação**. Como uma imagem vale mais do que mil palavras, vou apresentar esta teoria com um gráfico, um **diagrama de bifurcação**.

A figura 5, um diagrama de bifurcação, mostra um gráfico dos pontos fixos *versus* o parâmetro  $c$ . Neste gráfico está resumido quase todo o nosso conhecimento sobre o sistema  $F(x) = x^2 + c$ . Se traçarmos uma linha vertical em

<sup>1</sup>pois  $F(x)$  é uma função par, simétrica sobre a origem e estritamente crescente no intervalo  $[0, \infty)$



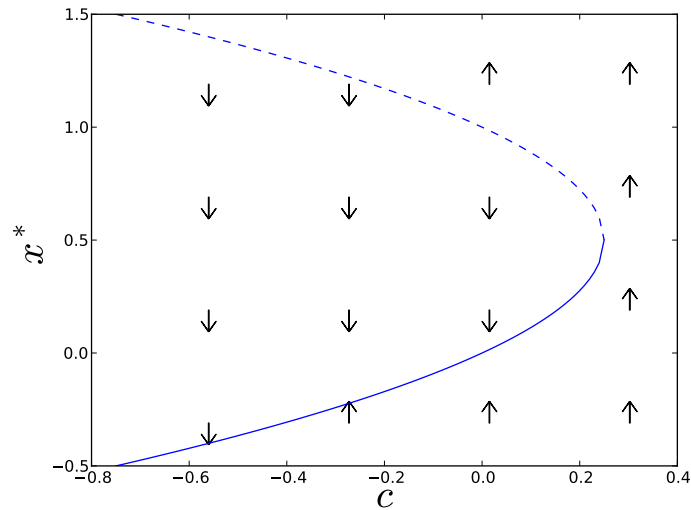


Figura 5: Diagrama de bifurcação de  $F(x)$  para  $-3/4 < c < 1/2$ . Linhas contínuas representam atratores e linhas pontilhadas representam repulsores. As setas indicam a direção que as órbitas seguem em seus pontos de origem.

qualquer ponto do eixo  $c$  deste gráfico, obteremos um retrato do sistema que captura toda a sua dinâmica para o parâmetro  $c$  de escolha.

O código para a confecção da figura 5 encontra-se abaixo. Não foi incluído o código que gera as setas.

```
# -*- coding: utf-8 -*-
from numpy import *
from pylab import *

def x_1(c):
    return (1 - sqrt(1 - 4*c))/2.

def x_2(c):
    return (1 + sqrt(1 - 4*c))/2.

c = linspace(-.75,.25,100)
plot(c,x_1(c),'b')          # 'b' é um argumento opcional
plot(c,x_2(c),'--b')        # 'b--' quer dizer "linha tracejada azul"
xlabel('$c$',fontsize=30)    # rótulos dos eixos x e y, tipografados
ylabel('$x^*$',fontsize=30)  # e com tamanho de fonte personalizado.
show()
```

## Interpretação bioquímica do modelo matemático

Enfim, agora que temos uma imagem tão geometricamente completa do nosso modelo na figura 5, o que podemos dizer do sistema original a partir disso? Primeiro e mais importante de tudo, podemos checar nossas suposições iniciais. Não fui totalmente honesto à princípio, pois não declarei as unidades que utilizaríamos para nossas variáveis.  $x$  é a concentração de metabólito, mas seria ela em mol/L, porcentagem ou pressão parcial (obviamente, temos por análise dimensional que  $F(x)$  e  $c$  possuem as mesmas unidades de  $x$ ), por exemplo? E quanto ao tempo  $t$ ? Apesar de não entrar diretamente na equação,  $t$  representa a unidade de tempo relevante do estudo e norteará a magnitude dos outros parâmetros estudados. Para muitos modelos populacionais importantes, a unidade de tempo  $t$  considera é um ano, mas quando falamos de populações humanas ou bacterianas, um ano tende a ser uma unidade de tempo muito inadequada.

Neste tutorial, estamos fazendo alguns passos na ordem inversa: escolhendo as suposições antes de definir o modelo, mas isto é apenas para ilustrar o poder de generalização dos modelos. Observemos a figura 5: o ponto fixo maior sempre é repulsor (em termos mais familiares, o equilíbrio maior sempre é instável). Se temos uma população inicial superior à  $x_+^*$ , ela crescerá, do contrário, diminuirá **até zero**, na direção de  $x_-^*$ . Isso é muito importante: num sistema químico ou biológico real, concentrações e populações jamais atingem valores negativos, não faria sentido! Para entender melhor, vamos considerar a reta vertical  $c = 0$ . Lembre que no início nós definimos  $c$  como um fator externo que retira ou repõe a concentração do nosso metabólito. Na reta  $c = 0$ , o modelo reduz para

$$F(x) = x^2 \quad (3)$$

E os pontos fixos se tornam

$$x_-^* = 0, x_+^* = 1 \quad (4)$$

Ou seja, a concentração de metabólito no instante  $t + 1$  só depende da concentração no instante anterior, sem influência externa. Portanto, se a concentração inicial for 1, a concentração permanecerá em 1. Qualquer concentração maior do que 1 crescerá de forma não-linear. Qualquer concentração menor do que 1 tenderá a diminuir até 0, o ponto fixo menor. Ignoramos concentrações negativas. Nestes termos, nossa regra de evolução, equação 3, se comporta quase exatamente como um crescimento exponencial  $G(x) = \mu x$ . Fica bastante fácil de interpretar o modelo geral,  $F(x) = x^2 + c$ , pensando nele como um modelo  $G(x)$  com a adição de um fator de reposição/retirada. O efeito do parâmetro  $c$  é apenas de reduzir/aumentar o ponto fixo maior, ignorando o fato de o ponto fixo menor atingir valores negativos para  $c < 0$  (apenas mapeamos valores negativos de  $x$  de volta para o zero e lavamos as mãos).

Com isso, temos que é inadequado adotar variáveis *adimensionais* para  $x$ , tais como porcentagem e frações totais, pois o modelo não apresenta comportamento interessante entre 0 e 1 - é recomendado que se utilizem concentrações ou quantidades absolutas, como peso, volume ou molar.

## Exercícios

**1** Relembre o caso  $F(x) = x^2 + c$ , com  $c = 1/4$ . Neste caso, tínhamos apenas um ponto fixo, com  $F'(x^*) = 1$ . Descreva as trajetórias de órbitas iniciando ao redor desse ponto. O que ocorre com uma órbita iniciando em  $x_0 < 1/4$ ? E se  $x_0 > 1/4$ , ou  $x_0 = 1/4$ ? O que podemos inferir sobre a estabilidade desse ponto? Utilize o diagrama de bifurcação, ou plote as respectivas órbitas caso precise visualizar o que acontece.

**2** Ainda no caso  $c = 0$ . Existe diferença no modo pelo qual uma órbita iniciando em  $x_0$  é atraída para  $x_-^*$  nos casos  $x_0 < x_-^*$  e  $x_0 > x_+^*$ . Descreva essa diferença e explique por que ela acontece. (**Dica:** você pode inclusive utilizar uma calculadora para calcular  $F(x_0), F^2(x_0), F^3(x_0)\dots$  e obter as órbitas pedidas.)

**3** Na questão 1, estudamos o caso  $c = 1/4$  em que há apenas um ponto fixo. Quando  $c > 1/4$  não temos pontos fixos, mas quando passamos pelo ponto  $c = 1/4$  surge um ponto fixo que se “bifurca” em dois outros,  $x_-^*$  e  $x_+^*$ . É o estudo dessas bifurcações que caracteriza a Teoria da Bifurcação. Existem outras bifurcações que ocorrem para a nossa função  $F(x) = x^2 + c$ . Vamos analisar o caso  $c = -3/4$ , onde vimos que  $F'(x^*) = -1$ . Consideramos então

$$F(x) = x^2 - 3/4 \quad (5)$$

para a qual temos dois pontos fixos  $x_-^* = -3/2$  e  $x_+^* = 1/2$ .

**a)** Plote a órbita de alguns pontos  $x_0$  ao redor de  $x_+^* = 1/2$ . Descreva o comportamento “periódico” das órbitas. (**Dica:** você pode utilizar o código da figura 2 para executar esta tarefa. Por exemplo, após executar o código da figura 2, execute as seguintes linhas

```
def f(x,c):
    return x**2 + c
cobweb(f,-2,2,-3/4,1/3)
```

para plotar uma órbita iniciando em  $x_0 = 1/3$  com  $c = -3/4$ .)

**b)** Para calcular o ponto  $x_2$  na órbita de  $x_0$ , utilizamos  $x_2 = F(x_1) = F(F(x_0))$ , sendo que

$$F^2(x) = F(F(x)) = x^4 + 2cx^2 + c(1+c) \quad (6)$$

que pode possuir quatro pontos fixos:

$$x_1^* = \frac{-1 - \sqrt{-4c-3}}{2}, x_2^* = \frac{-1 + \sqrt{-4c-3}}{2}, x_3^* = \frac{1 - \sqrt{-4c+1}}{2}, x_4^* = \frac{1 + \sqrt{-4c+1}}{2}$$

Pergunta-se: É possível que existam os pontos fixos  $x_1^*$  e  $x_2^*$  quando  $c > -3/4$ ? Qual a possível implicação disso para as órbitas de  $x_0$  sob  $F(x)$  quando o parâmetro  $c$  varia entre  $c > -3/4$  e  $c < -3/4$ ?

c) Determine a estabilidade dos quatro pontos fixos da equação 6 através de  $(F^2(x_n^*))'$ ,  $n = 1, 2, 3, 4$ . Qual é a relação entre as estabilidades dos pontos fixos de  $F^2(x)$ ,  $x_1^*$ ,  $x_2^*$ , e  $x_3^*$ , e o surgimento de um ciclo para  $F(x) = x^2 + c$  quando  $c \leq -3/4$ ?

d) Observe a figura 6. Ela utiliza informações dos quatro pontos fixos de  $F^2(x)$  para fornecer uma diagrama de bifurcação mais completo de  $F(x)$ . Localize os dois pontos de bifurcação na figura. O ponto mais à direita nós já conhecíamos: a esse tipo de bifurcação se dá o nome **sela-nó**. Ao ponto de bifurcação mais à esquerda se dá o nome **duplicação de período**. Copie esse gráfico (para uma folha de papel, por exemplo) e desenhe as setas representando as direções das órbitas assim como na figura 5. Explique porque as retas cheias e pontilhadas (pontos atratores e repulsores) tem que se alternar.

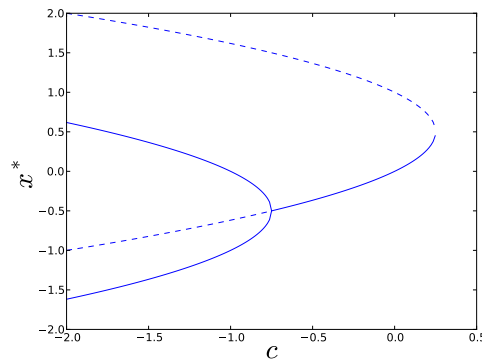


Figura 6: Diagrama de bifurcação da equação 2 para  $-2 < c < \frac{1}{2}$ .

**Obs.** Note que os pontos fixos  $x_1^*$  e  $x_2^*$  só são *estritamente* pontos fixos para  $F^2(x)$ . Para  $F(x)$  eles são periódicos, no sentido de que se alternam a cada dois passos. Pontos que são revisitados após um período  $n$  são chamados pontos fixos periódicos de período  $n$ . Veja a figura 7.

## Código da Figura 2

```
from __future__ import division
from numpy import *
from pylab import *

def cobweb(f,start,end,p,x0,steps=10,smoothness=100):
    xv = linspace(start,end,smoothness)
    plot(xv,f(xv,p),color='b')
```

```

plot(xv,xv,color='g')
plot([xv[0],xv[len(xv) - 1]], [0,0],color='k')
x = zeros(steps)
x[0] = f(x0,p)
plot([x0,x0],[0,x[0]],color='r')
plot([x0,x[0]],[x[0],x[0]],color='r')
for i in xrange(steps-1):
    x[i+1] = f(x[i],p)
    plot([x[i],x[i]],[x[i],x[i+1]],color='r')
    plot([x[i],x[i+1]],[x[i+1],x[i+1]],color='r')
show()

def f(x,c):
    return x**2 + c

cobweb(f,-2,2,.05,.7)
cobweb(f,-2,2,.05,.9)
cobweb(f,-2,2,.05,.95)

```

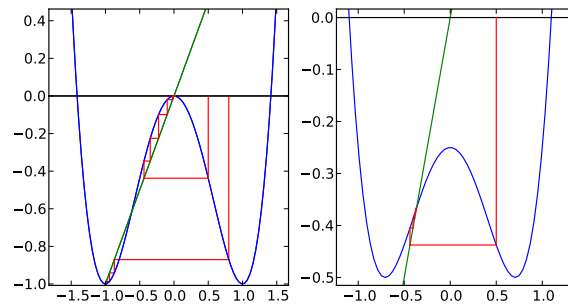


Figura 7: Gráfico de  $x \times F^2(x)$ , para  $c = -3/4$  (esquerda) e  $c = -1/2$  (direita). Note que a existência de 4 ou 2 pontos fixos para  $F^2(x)$  depende da escolha do parâmetro  $c$ , que afeta o modo como o gráfico da função se curva em torno da reta  $x = x$ . Observe também a estabilidade de alguns dos pontos fixos.

## Referências

Este tutorial foi inspirado no livro *A First Course in Chaotic Dynamical Systems*, por Robert L. Devaney. (1992, Addison-Wesley).



©Systems Biology Club. *Órbitas de sistemas dinâmicos e diagramas de bifurcação em Python*. Esta obra está licenciada sob a licença Creative Commons Atribuição-NãoComercial 3.0 Não Adaptada. Para ver uma cópia desta licença, visite [http://creativecommons.org/licenses/by-nc/3.0/deed.pt\\_BR](http://creativecommons.org/licenses/by-nc/3.0/deed.pt_BR).